<sup>1</sup> է Էրական գիտութ, սերիա

XXXII, № 1, 1979

Серия технических наук

**ЭНЕРГЕТИКА** 

### А А АРУТЮНЯН

# ИССЛЕДОВАНИЯ, СВЯЗАННЫЕ С ИСПОЛЬЗОВАНИЕМ ГИБРИДНОЙ МАТРИЦЫ В РАСЧЕТАХ УСТАНОВИВШИХСЯ РЕЖИМОВ ЭЛЕКТРИЧЕСКИХ СИСТЕМ

Расчеты потерь мощности в электрических сстях 35 кВ и выше с целью определения структуры потерь энергии связаны с проблемой сходимости итерационного процесса при решении уравнений установившенося режима. Известно, что для этих целей применяются уравнения основанные на матрицах У или Z

В работах [1—3] показана возможность совместного использовапня матриц У и Z, названной гибридной матрицей. При этом появляется возможность использования преимущести этой матрицы для улучшения сходимости итерационных процессов.

В данной статье приводятся методика, алгоритм и программа расчета установившегося режима электрической системы на базе гибридной матрицы (ГМ). Приведены также результаты исследования сходимости итерационного процесса при решении уравнений установившегося режима электрической системы по методу Зейделя. Рассматриваются некоторые особенности решения этих уравнений по методу Ньютона, стешанного применения методов Зейделя—Ньютона для отдельных подматриц ГМ.

## Постановка задачи. Задаются:

- параметры схемы замещения в форме связей узлов и соответствующих им активных и реактивных сопротивлений ветвей схемы;
- параметры режима  $P,\ Q$  или  $P,\ U,\$ а для узла баланса мощностей  $U,\$  $\psi.$

Здесь  $P,\ Q$  — соответственно, активные и реактивные мощности:  $U, \psi$  — модуль и фаза напряжения.

Требуется определить:

 $\psi$ , U и  $\psi$ , Q — соответственно, для узлов типа P, Q и P, U; P, Q — для узла баланса мощностей.

Разделим множество  $N_*$  всех узлов схемы на подмножества генераторных ( $\Gamma$ ), нагрузочных ( $\Pi$ ) и сетевых (пассивных) ( $\Pi$ ) узлов схемы, т. е.:

$$\Gamma \subset N$$
:  $H \subset N_0$ ;  $\Pi \subset N_0$ 

Число элементов этих подмножеств обозначим, соответственно, литерами г. н. п.

Гибридные уравнения, полученные ил уравнений узловых напряжений, имеют следующий вид [2].

Z - Y-форма:

$$\left[\frac{Y_{ck}^{-1}}{Y_{sk}Y_{ck}^{-1}} \middle| \frac{-Y_{ck}^{-1}Y_{cm}}{Y_{sm} - Y_{sk}Y_{ck}^{-1}Y_{cm}} \right] \cdot \left[\frac{I_k}{\bar{U}_m}\right] = \left[\frac{\bar{U}_c}{\bar{I}_c}\right]; \quad (2)$$

Y - Z форма:

$$\left[\frac{Y_{ck} - Y_{cm}Y_{sm}^{-1}Y_{sk}}{-Y_{sm}^{-1}Y_{sk}} \middle| \frac{Y_{cm}Y_{sm}^{-1}}{Y_{sm}^{-1}} \right] \cdot \left[ -\frac{\dot{U}_k}{\dot{I}_c} \right] = \left[ \frac{\hat{I}_c}{\dot{U}_c} - \right]$$
(3)

В (2) и (3) в общем случае (без эквивалентирования исходной схе-

$$c, \dot{k} = \overline{1, \Gamma};$$
  $s, m = \Gamma + \overline{1, H + H}.$ 

В [3] приведен алгоритм формирования ГМ на ЦВМ, входящей в (2), с помощью которого без изменений в программе можно формировать также ГМ, входящую в (3), начав нумерацию узлов схемы в обратном порядке.

Учитывая, что при обратной нумерации узлов меняется обусловленность, а следовательно, и сходимость итерационного процесса. балансирующий узсл следует выбирать согласно [4], где доказано, что если опредварительно выбраи, то изменение пумерации узлов схемы не изменит коэффициента обусловленности системы узловых уравнений и не повлияет на скорость сходимости итерационных методов. Такой подход позволит сравнивать сходимость итерационных процессов уравнений (2) и (3).

Принимая, что ГМ сформирована, уравнение (2) запишем в слелующей форме [3]:

$$\left[\begin{array}{c|c} -\frac{1}{d_{sk}} + \frac{1}{jd_{sk}} & \frac{d_{cm} + \frac{1}{jd_{sm}}}{g_{sm} - \frac{1}{jb_{sm}}} \end{array}\right] \left[\begin{array}{c} \frac{P_k - jQ_s}{U_s e^{j_{q_c}}} \\ -\frac{1}{Q_s e^{j_{q_c}}} \end{array}\right] - \left[\begin{array}{c} \frac{U_c e^{j_{q_c}}}{P_s - jQ_s} \\ -\frac{1}{Q_s e^{j_{q_c}}} \end{array}\right]$$
(4)

С целью отделения действительных и мнимых частей зависимых и независимых параметров, уравнение (4) запишем в форме двух следующих слагаемых:

$$\sum_{k \in V} (r_{ck} + jx_{ck}) \frac{P_k - jQ_k}{U_k e^{-jt_{ck}}} + \sum_{n \in V} (d_{nn} + jd_{nn}) U_n e^{jt_{nn}} = U_n e^{jt_{nn}}.$$
(4a)

$$\sum_{\substack{n \in V \\ h = 11}} (c_{n} + jd_{nh}^{*}) \frac{P_{k} - jQ_{k}}{U_{k}e^{-\tilde{F}_{nk}}} + \sum_{\substack{s \in V \\ m = 11}} (g_{n} - jb_{sm}) = \frac{P - jQ_{n}}{U_{s}e} \cdot (46)$$

Из (4a) в координатах U и s [5], где  $s=\sin\Psi$ , напишем уравяения активных и реактивных мощностей для узлов, входящих в подмножество  $\Gamma$ :

$$\frac{P}{U_{\epsilon}} = \frac{1}{r_{ee}^2 + x_{ee}^2} \left( U_{\epsilon} r_{ee} - c_{\epsilon} A_{\epsilon} - s_{\epsilon} B_{\epsilon} \right), \tag{5}$$

$$\frac{1}{I^{2}} = \frac{1}{r^{2} + x^{2}} \left( U_{\epsilon} x_{\epsilon\epsilon} - s_{\epsilon} A_{\epsilon} + c_{\epsilon} B_{\epsilon} \right), \tag{6}$$

где

$$A_{c} = r_{cc} (\beta_{ck} + \beta_{cm}) - x_{cc} (\alpha_{ck} + \alpha_{cm});$$

$$B = r_{cc} (\alpha_{ck} + \alpha_{cm}) - x_{cc} (\gamma_{ck} + \beta_{cm});$$

$$\alpha_{ck} = \sum_{\substack{k=1\\k\neq k}} \frac{1}{n} \{ (r_{ck} P_{k+1} x_{ck} Q_k) s_k - (r_{ck} Q_k - x_{ck} P_k) c_k \};$$

$$U_m (d_{cm} s_m + u_{cm} c_m); \qquad \beta_{cm} = U_m \{ d_{cm} c_m - d_{cm} s_m \};$$

$$\frac{L'_m (d_{cm}s_m + d_{cm}c_m)}{c_m} = U_m (d_{cm}c_m - d_{cm}s_m),$$

$$c_m = \frac{U_m (d_{cm}c_m - d_{cm}s_m)}{c_{-m}}.$$

Таким же образом из (46) получим уравнения активных и реактивных мощностей для узлов, входящих в подмножество 14:

$$\frac{P}{U}A_{s}e_{s} - B_{s}s_{s} + U_{s}g_{s}; (6a)$$

$$\frac{Q_s}{U_s} = A_s s_s - B_s c_s - U_s b_s, \qquad (66)$$

где

$$A = \sum_{\substack{s_1 \text{ H} \\ s_1 \cdot k}} U_m \left( g_{sn} c_m - b_{sm} s_m \right);$$

$$B_1 = \sum_{\substack{s_1 \text{ H} \\ s_1 \cdot k}} \left( a_{sk} s_k + s_{sk} \right) + \sum_{\substack{s_1 \text{ H} \\ m \mid l}} U_m \left( s_{sm} - b_{sm} s_m \right);$$

$$a_{sk} = d_A P_s + d_{sk} Q_k;$$

$$= U_m \left( s_{sm} - b_{sm} s_m \right);$$

# Формулы приростов искомых переменных U и з

Рассматривая каждую из величин  $P_e$ ,  $Q_e$  и  $P_e$ ,  $Q_e$ , соответственно как функцию переменных  $s_e$ ,  $U_e$  и  $s_e$ ,  $U_e$  можно записать следуюшие уравнения приростов:

$$\begin{bmatrix}
\frac{\partial P_c}{\partial S_k} & \frac{\partial P_c}{\partial S_m} \\
\frac{\partial P}{\partial S_k} & \frac{\partial P}{\partial S_m}
\end{bmatrix}
\begin{bmatrix}
\Delta S_k \\
\Delta S_m
\end{bmatrix} = \begin{bmatrix}
\Delta P_c \\
\Delta P
\end{bmatrix}$$

$$\begin{bmatrix} \frac{\partial Q_i}{\partial U_k} & \frac{\partial Q_c}{\partial U_m} \\ \frac{\partial Q_s}{\partial U_k} & \frac{\partial Q_s}{\partial U_m} \end{bmatrix} \begin{bmatrix} \Delta U_k \\ \Delta U_n \end{bmatrix} = \begin{bmatrix} \frac{Q_i}{\Delta Q_v} \\ \frac{\partial Q_s}{\partial U_k} & \frac{\partial Q_s}{\partial U_m} \end{bmatrix},$$

где  $AP = P - P'; \quad \Delta Q = Q - Q'; \quad P, \quad Q -$  заданные значения мощностен; P, Q' расчетные значения в I-ом шаге итерации;

$$\frac{\partial P_{\epsilon}}{\partial s_{\epsilon}} = \frac{1}{c_{\epsilon}} \left( \frac{U_{\epsilon} x_{\epsilon \epsilon}}{z_{\epsilon}^{2}} - Q_{\epsilon} \right); \tag{7}$$

$$\frac{\partial P_{\epsilon}}{\partial s_{k}} = \frac{U_{\epsilon}}{c_{\epsilon}z_{-\epsilon}^{2}} \left( \lambda_{\epsilon} s_{\epsilon k} - \mu_{\epsilon} s_{\epsilon k} \right); \qquad (7a)$$

$$\frac{\partial P_{\epsilon}}{\partial s_{m}} = \frac{U_{\epsilon}}{c_{m}z_{cm}^{2}} \left( \lambda_{\epsilon} s_{\epsilon m} - y_{\epsilon} \beta_{\epsilon m} \right); \tag{76}$$

$$\frac{\partial Q_c}{\partial U_c} = \frac{U_c x_{ci}}{z_c^2} + \frac{Q}{U_c}; \tag{8}$$

$$\frac{\partial Q_c}{\partial U_k} = \frac{U_c}{U_k z_{cc}^2} \left( \mu_c z_{ck} - \mu_c z_{ck} \right), \tag{8a}$$

$$\frac{\partial Q_e}{\partial U_m} = \frac{U_e}{z_e} (i_e z_{em} - \nu_e \tilde{\nu}_{em}). \tag{86}$$

Зассь

$$z_{cc} = \int \overline{r_{cc}^{2} + x_{cc}^{2}}; \quad \lambda_{s} = r_{cc} e_{c} - x_{cc} s_{c}; \quad \psi_{c} = r_{cc} s_{c} + x_{cc} s_{c};$$

$$a_{ck} = \frac{1}{U_{k}} (M_{ck} s_{k} - N_{ck} c_{k}); \quad \beta_{ck} = \frac{1}{U_{k}} (M_{ck} c_{k} + N_{ck} s_{k});$$

$$M_{ck} = r_{ck} P_{k} + x_{ck} Q_{k}; \quad N_{ck} = r_{ck} Q_{k} - x_{ck} P_{k};$$

$$a_{cm} = U_{m} (d_{cm} s_{m} + d_{cm} c_{m}); \quad \beta_{cm}^{2} = U_{m} (d_{cm} c_{m} - d_{cm} s_{m}).$$

$$\frac{\partial P_{s}}{\partial s_{s}} = \frac{1}{c_{s}} (U_{s}^{2} b_{ss} - Q_{s}); \quad (9)$$

$$\frac{\partial P_{\perp}}{\partial s_k} = \frac{U_{\perp}}{U_k c_k} \left( \iota_{s_R} s_k - \mu_{s_k} c_k \right), \tag{9a}$$

$$\frac{\partial P_s}{\partial s_m} = \frac{UU_m}{c_m} (\mu_{sm} s_s - \lambda_{sm} c_s); \tag{95}$$

$$\frac{\partial Q_s}{\partial U_s} = U_s b_{ss} + \frac{Q_s}{U_s}; \tag{10}$$

$$\frac{\partial Q_s}{\partial U_b} = \frac{U_s}{U_b^2} \left( \mu_{ck} c_x - \epsilon_{sh} s_s \right); \tag{10a}$$

$$\frac{\partial Q}{\partial U_m} = U_s \left( \mu_{sm} s_s - \lambda_{sm} c_s \right), \tag{106}$$

где

$$P_{sk} = z_{sk} c_k - z_{sk} s_n; \qquad = z \quad s_k - z_{sk} c_k;$$

$$P_{sm} = g_{sm} c_m - b_{sm} s_m; \qquad h_{sm} = g_{sm} s_m - b_{sm} c_m;$$

$$a_{sk} = a_{sk} - a_{sk} Q_i; \qquad P_{sk} = a_{sk} P_k - d_{sk} Q_k.$$

Алгоритм и программа расчета установившегося режима электрической системы по строчным уравнениям на бале ГМ основаны на формуле приростов искомых величин, которые определяются из (5). (6):

$$\Delta S_{c} = \frac{1}{\partial P_{c}} \left[ \Delta P_{c} - \sum_{c \in \mathcal{C}} \frac{\partial P_{c}}{\partial S_{k}} \Delta S_{k} - \sum_{c \in \mathcal{C}} \frac{\partial P_{c}}{\partial S_{m}} \Delta S_{c} \right]$$
 (11)

$$\Delta U_c = \frac{1}{\frac{\partial Q_c}{\partial U_b}} \left[ \Delta Q_c - \sum_i \frac{\partial Q_c}{\partial U_k} \Delta U_b - \sum_{i=m} \frac{\partial Q_c}{\partial U_m} \Delta U_m \right]$$
 (12)

$$\Delta s_{i} = \frac{1}{\frac{\partial P_{i}}{\partial s_{i}}} \left[ \Delta P_{i} - \sum_{k} \frac{\partial P_{i}}{\partial s_{k}} \Delta s_{k} - \sum_{i,m} \frac{\partial P_{i}}{\partial s_{m}} \Delta s_{m} \right]; \tag{13}$$

$$\Delta U_{s} = \frac{1}{\frac{\partial Q_{s}}{\partial U_{s}}} \left[ \Delta Q_{s} - \sum_{k} \frac{\partial Q_{s}}{\partial U_{s}} \Delta U_{k} - \sum_{k \in m} \frac{\partial Q_{s}}{\partial U_{m}} \Delta U_{m} \right]. \tag{14}$$

В программе реализованы расчетные уравнения для величин U и у в следующей форме (блок-схема программы представлена на рис. 1):

$$s_c^{i+1} = s_c^i + \frac{c_c^i \Delta P_c^{i+1}}{(U_c^i)^2 x_{ie}} - Q_c$$
 (15)

$$U_e^{i+1} = U_e^i + \frac{\Delta Q_e^{i+1}}{U_e^i x_{ee} + \frac{Q_e}{D^i}};$$
 (16)

$$s_z^{l+1} = s_z^l + \frac{c_z^l \Delta P_z^{l+1}}{(U_z^l)^2 b_{zz} - Q_z}$$
; (17)

$$U_s^{1+1} = U_s^1 + \frac{Q_s^{1+1}}{U_s^{1+1} + Q_s}. \tag{18}$$

Для определения величины потерь электроэпертии на основе вылений серчи режимов данной сети, после обеспечения сходимости прационного процесса, определяются потери активной и реактивной иностей каждого режима по алгоритму, принеденному в [6].

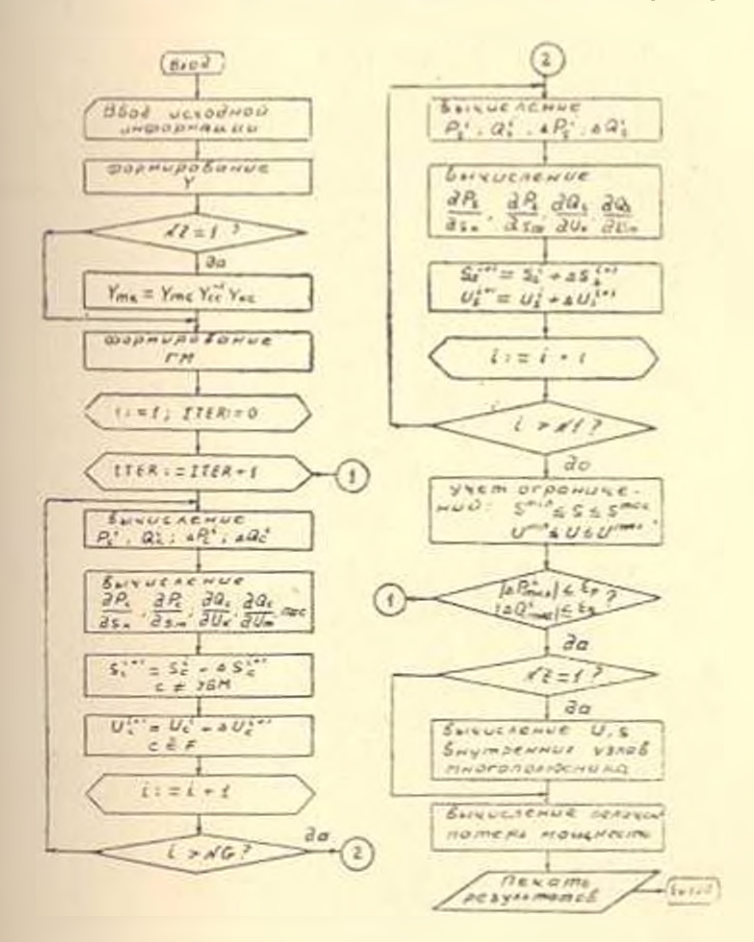


Рис. 1. Блок-схена программы расчета установнявленося (смима ваектрической системы по метолу Зейделя на базе ГМ — Учеорных NZ 1 — приливк эканвалентирования исходной слемы; УБМ — слеминости; г подмиожество опорных узлов схены; № 1 порядок системы; NG — порядок Z подматрицы; т — гочнысть следимости итерации.

В случве применения ГМ Z—Y—формы число шагов итерации для приведенного в [7] примера (10 узлов, 15 ветвей) по сравнению с У сокращается на 45 шагов (рис. 2). Необходимое машинное время для решения задачи на ЦВМ, как известно, занисит также от качества составленной программы. По экспериментальной программе, составленной ав-

тором, машинное время сокращается на 25%, что, естественно, не является пределом.

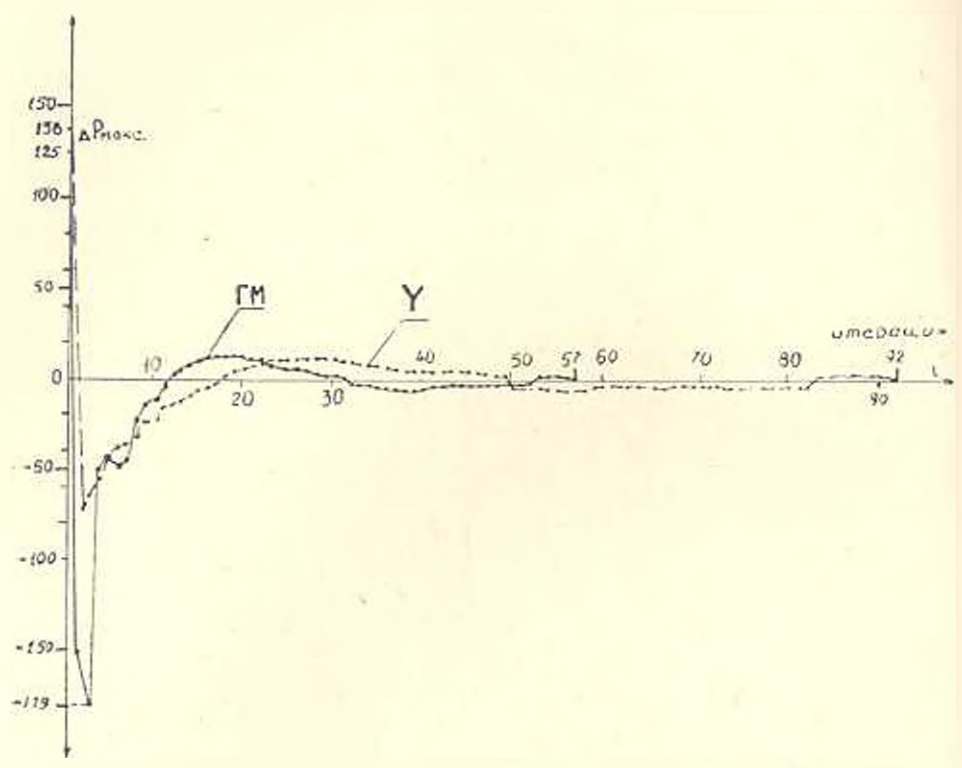


Рис. 2. Сходимость итерационного процесса при решении уравнении Y-формы и Z-Y-формы (ГМ) по методу Зейделя.

Как показывают расчеты, число шагов итерации с применением ГМ зависит от отдельных блоков подматриц, т. е. от порядка Z и Y. При Z-Y—форме ГМ для рассматриваемого примера имеет место следующее соотношение числа шагов итерации и порядка Z подматрицы (табл):

						Таблица 1		
Порядок 2 подматрицы	I	2	3	4	5	G	7	
<b>Число</b> шагов ктерация	130	118	109	90	76	68	47	

Создана также экспериментальная программа расчета установившегося режима на базе ГМ по методу Ньютона и, отдельно, программа смещанного применения методов Ньютона и Зейделя. Метод Зейделя, успешно применяемый и расчетах с подматриней Z, используется для Z подматрицы ГМ по описанному выше алгоритму и уравнениям (5), (5a), (15), (16). Метод Ньютона, успешно применяемый для уравнений на базе матрицы Y, используется относительно подматрицы Y в ГМ пр следующим выражениям:

$$\left| \frac{\Delta P_s}{\sigma s_m} \right| \cdot \left[ \Delta s_m \right] = \left[ \Delta P_s \right] - \left[ \frac{\partial P_s}{\sigma s_k} \right] \cdot \left[ \Delta s_k \right]; \tag{19}$$

$$\left[ \frac{\partial Q_s}{\partial U_m} \right] \cdot \left[ \Delta U_m \right] = \left[ \Delta Q_s \right] - \left[ \frac{\partial Q_s}{\partial U_k} \right] \left[ \Delta U_k \right]. \tag{20}$$

Пренмущества какой-либо из этих программ покажут дальнейшие исследонания на примерах действующих схем.

### Выводы

- 1. Доказана возможность формирования также второй ГМ, полученной из уравнений узловых напряжении в форме матрицы собственных и взаимных проводимостей по алгоритму, приведенному в [3].
- 2. Выбранный метод решения уравнений установившегося режима электрической системы, записанный в форме частных производных на базе ГМ, исключает возможность появления отрицательного дискримиванта в процессе итерации, имеющий место при решении уравнений второго порядка [1].
- 3. Как показывают расчеты, при решении уравнений на базе FM сходимость итерации значительно ускоряется без непользования специальных приемов ускорения.

АриНИНЭ

Поступнае 15.111.1978

#### B. B. ERPODESBETSHIN

ՎԵԿՏՐԱԿԱՆ ՀԱՄԱԿԱՐԳԵՐԻ ՀԱՍՏԱՏՎԱԾ ՌԵԺԻՐՆԵՐԻ ՀԱՇՎԱՐԿՆԵՐՈՒՄ ՀԻՐՐԻԿԱՅԻՆ ՄԱՏՐԻՑԱՅԻ ԿԻՐԱՌՄԱՆ ՎԵՐԱՐԵՐՅԱԼ ՀԵՏԱԶՈՏՈՒԹՅՈՒՆԵՐ

Շարադրված է ԲՀՄ-ի վրա էլեկտրական Համակարդի Հաստատված ռեժիմների Հաշվարկման մեթոդը, ալդորիթմն ու ծրադիրը հերրիդային մատրիցայի (ՀՍ) կիրառման հիման վրա։ ՀՄ կիրառմամբ էներգահամակարդի Հաստատված Հավասարումները լուծելիս, ինչպես ցույս են տալիս հաշվարկաներ, առանց Հատուկ եղանակներ օդտագործելու իտերացիայի զուդամիտունը դգալիորեն արագանում է։

## ЛИТЕРАТУРА

- Hate H. W., Goodrich R. W. Digital Computation of Power Flow-Some New Aspects, Trans. AIEE, vol. 78, 1958, pp. 919—924.
- Адокц Г. Т. Уравнения электрических режимов энергосистемы, основанные на гибриданых матрицах. «Локляды АН АрмССР», т. I.V., 1972, № 3, с. 174—178.

- 3. Арутюням А. А. Формпрование гибридной матрины на ЦВМ. «Известия АП АрмССР (серля Г. П.)», т. XXX, 1977. № 2, с. 32—38.
- 4. Латышева Т. С. Итерационные методы расчета режимов в электрических цепях в системых Антореферат кандидатской диссертации, М., 1970, 26 с.
- 5 Адокц Г. Т. Метод расчета установнишегося режима электрической системы. «Электричество», 1972, № 5, с. 1—6.
- 5. Адонц I. 1. Многололюсник. Ереван, изд. АН АрмССР, 1965, 167 с.
- 7 Хачатрян В. С. Метод и алгориты расчета установившихся режимов больших электроэнергетических систем. «Известня АП СССР. Энергетика и транспорт». 1973, № 4, с. 45—56.